

On reviens sur le guide d'onde rectangulaire

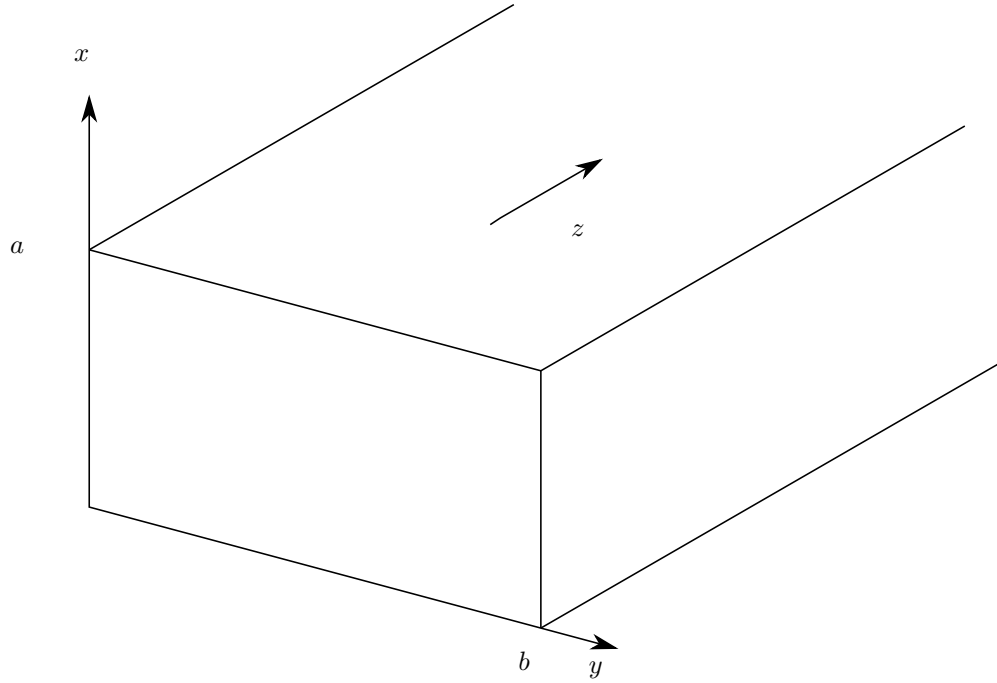


FIGURE 1 – guide d'onde rectangulaire

Modes :

$$\begin{cases} \text{TE} & E_z = 0 \\ \text{TM} & B_z = 0 \end{cases}$$

$$B_z(x, y, z) = B_0 \cos k_x x \cos k_y y e^{ikz}$$

avec

$$k^2 = \frac{\omega^2}{c^2} - k_x^2 - k_y^2 = \frac{\omega^2 - \omega_c^2}{c^2} \quad k_x = \frac{n\pi}{a} \quad k_y = \frac{m\pi}{b}$$

ex :  $n = 0, m = 1$

$$\begin{aligned} B_z(x, y, z) &= B_0 \cos k_y y e^{ikz} \\ B_z(x, y, 0) &= B_0 \cos \frac{y\pi}{b} \end{aligned}$$

Dans le cas d'un métal non-parfait, il y aurait des pertes dues aux courants. On s'intéresse maintenant à calculer ces courants.

Comme  $\nabla \cdot \mathbf{j} + \frac{\partial \rho}{\partial t} = 0$  On peut obtenir la charge facilement à partir du courant (à constante près) mais pas l'inverse  
discontinuités de  $B_z \rightarrow j_z$

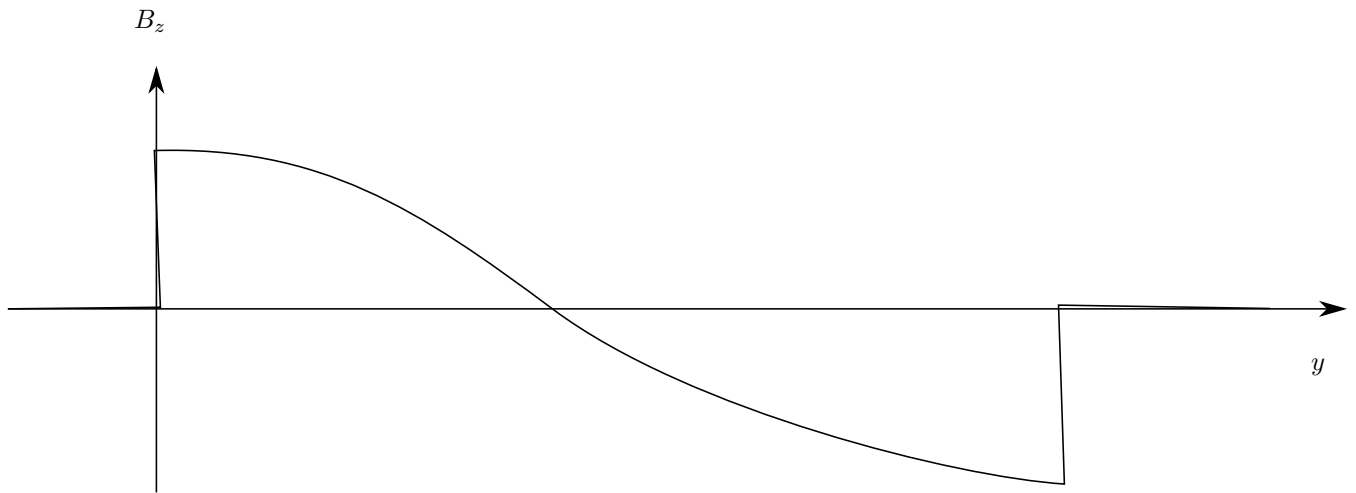


FIGURE 2 – Graphique du champ magnétique

en  $y = b$  :  $j_s$  suivant  $\hat{x}$

$$B_z(y = b^+) - B_z(y = b^-) = \mu_0 j$$

$$\implies j_s = \frac{B_0}{\mu_0}$$

en  $x = 0$

$$\mathbf{j}_s = \frac{B_0}{\mu_0} \cos \frac{y\pi}{b} \hat{y}$$

Comme on est en 2D : on a

$$\nabla \cdot \mathbf{j}_s + \frac{\partial \rho}{\partial t} = 0$$

En  $y = 0, y = b$ , on a  $J_s = cte \implies \sigma = 0$

En  $x = 0$  on a

$$\nabla \cdot \mathbf{j} = \frac{B_0}{\mu_0} \frac{\pi}{b} \sin \frac{y\pi}{b} = i\omega\sigma$$

Autre approche : Discontinuité de  $E$

en  $x = a$  :

$$E_x \propto \frac{\partial B_z}{\partial y} \quad \text{OK}$$

Remarque : Impédance

Quel est l'unité de  $\frac{E}{H}$  ?

$$= \frac{Vm^{-1}}{Am^{-1}} = \Omega$$

l'impédance est alors donné par

$$Z = \frac{E_x}{H_y} = \mu_0 \frac{E_x}{B_y} = \mu_0 \frac{\omega}{k}$$

$$k^2 = \frac{\omega^2 - \omega_p^2}{c^2}$$

Dans le vide  $k = \frac{\omega}{c}$ ,  $Z = Z_0 = \sqrt{\frac{\mu_0}{\epsilon_0}} = \mu_0 c = 377\Omega$  (Exactement ? WOW !)